



Universidad Autónoma De Ciudad Juárez
Instituto de Ciencias Biomédicas
Departamento de Ciencias Químico Biológicas
Licenciatura en Química



Implementación de un electrodo de grafito de lápiz para la detección a nivel traza de Pb(II) y Cd(II) en medio acuoso

Presenta:

Manuel Alberto Saucedo Cañas

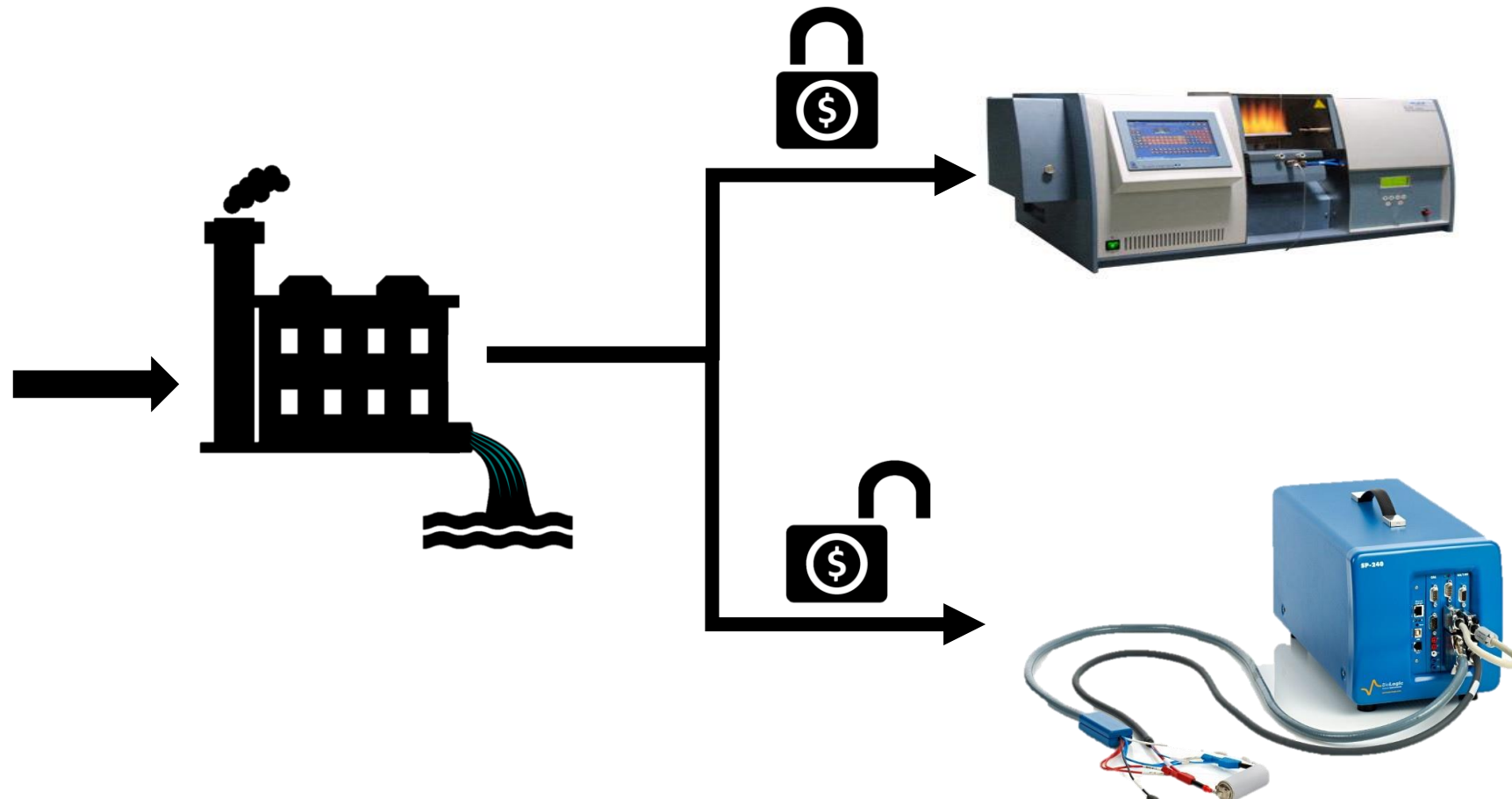
Asesora: Dra. Mónica Galicia García

Octubre, 2022.

Introducción



^{82}Pb	^{48}Cd
Plomo 207	Cadmio 112.41



Antecedentes

Plomo

- Elemento 36 en cuanto a abundancia
- Concentración promedio de 16 ppm
- Se obtienen a partir de la galena
- Sus minerales tienen un origen hidrotermal



Galena (PbS)

Cadmio

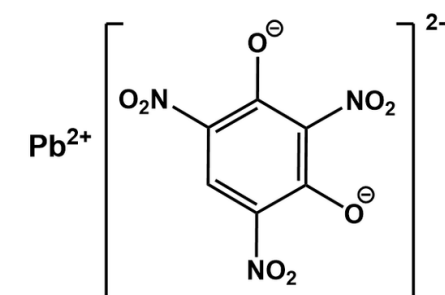
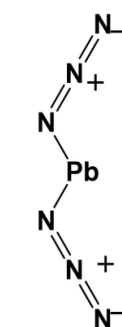
- Elemento 63 en cuanto a abundancia
- Concentración promedio de 0.1 ppm
- Se obtienen como subproducto de la refinación de zinc
- Sus minerales tienen un origen hidrotermal



Greenockita
(CdS)

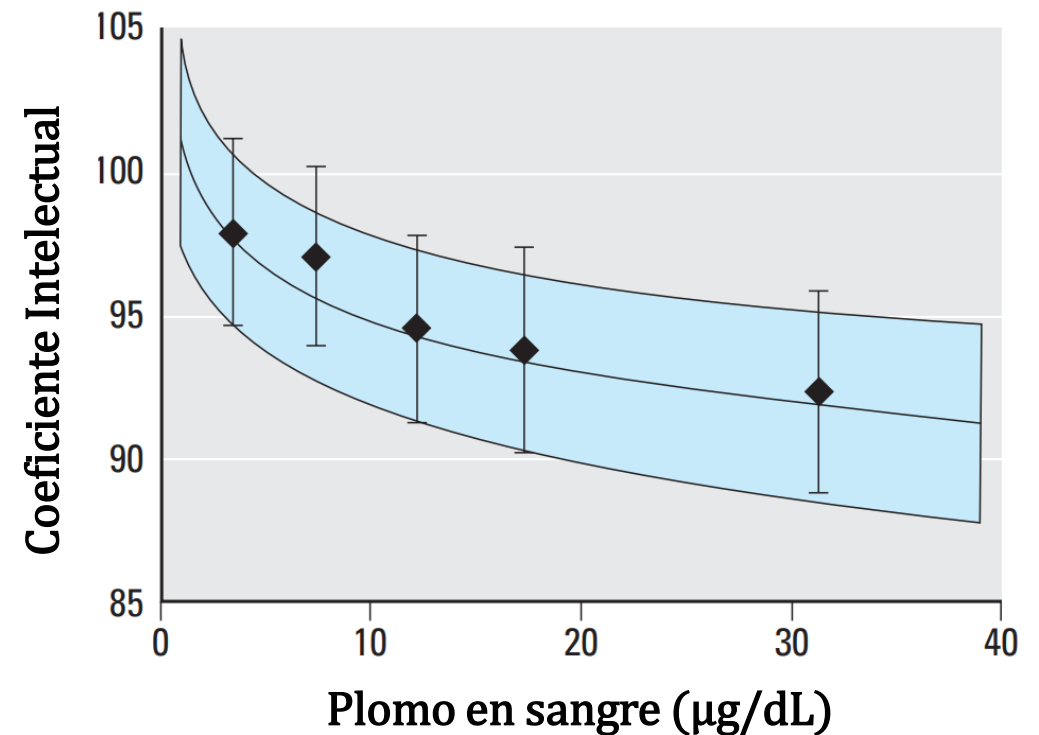
Usos

- Fabricación de baterías plomo-ácido y níquel-cadmio
- Manufactura de pigmentos
- Fabricación de explosivos
- Fabricación de soldadura
- Fabricación de componentes electrónicos



Medio ambiente y efectos sobre la salud

- Procesos industriales, erosión y lixiviación integran estos elementos a **aguas superficiales y subterráneas**
- Zonas urbanas son **más propensas a tener altas concentraciones** de estos elementos
- Incrementan la posibilidad de padecer cáncer
- Disminuyen el coeficiente intelectual



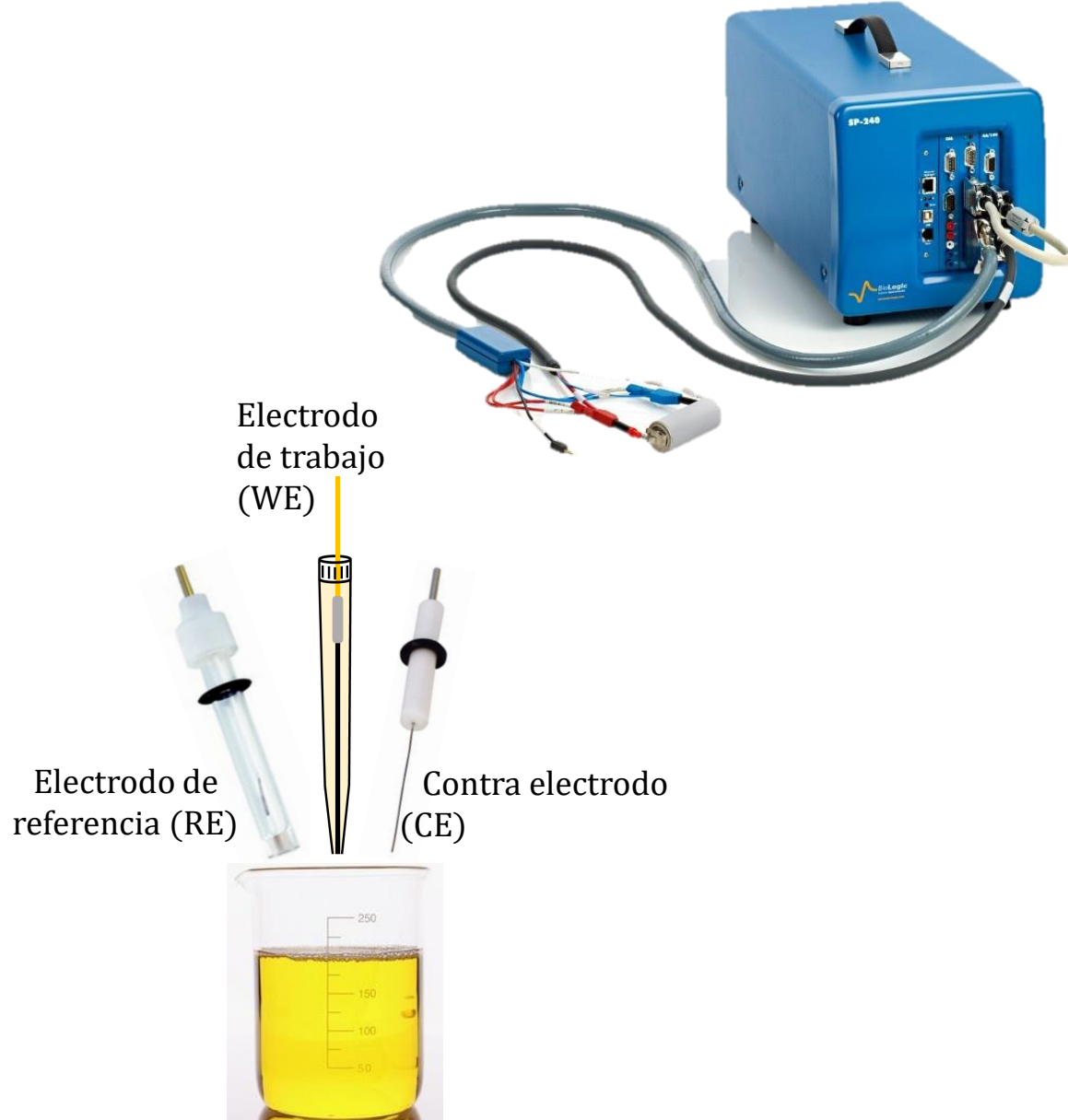
Fuente: modificado de Lanphear et al., 2005

Normatividad

Norma	En materia de	Límite máximo permisible (mg L ⁻¹)	
		Pb	Cd
PROY-NOM-127-SSA1-2017	Agua de uso y consumo humano	0.010	0.003
NOM-001-SEMARNAT-2021	Riego de áreas verdes	1	0.075
NOM-002-ECOL-1996	Aguas residuales descargadas a alcantarillado urbano o municipal	2	1
NOM-003-ECOL-1997	Agua tratada para reúso en servicios al público	1	0.15

Electroquímica

- Es posible cuantificar metales pesados por técnicas electroquímicas
- Los instrumentos electroquímicos portátiles son asequibles
- Los electrodos pueden modificarse para mejorar sus capacidades



Hipótesis

Un electrodo de grafito de lápiz puede detectar Pb(II) y Cd(II) a nivel traza en medio acuoso.

Objetivo general

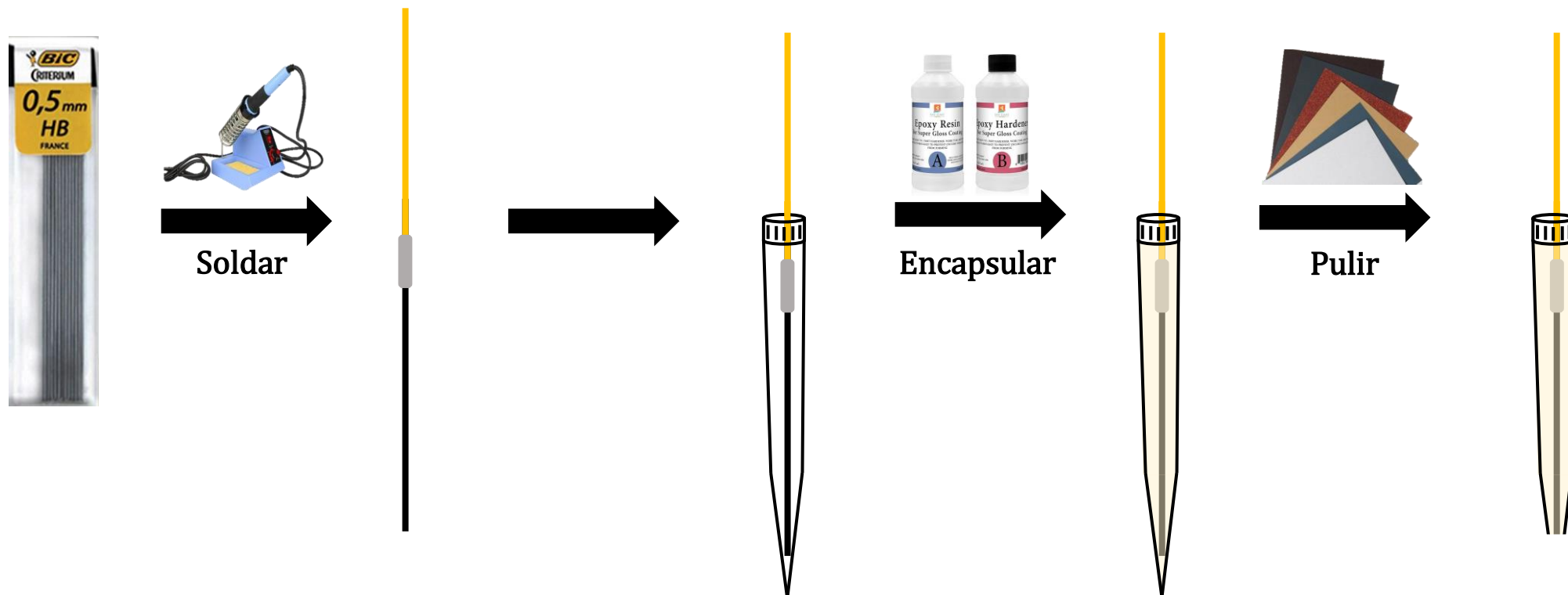
Implementar un electrodo de grafito de lápiz para la detección de Pb(II) y Cd(II) a nivel traza en medio acuoso.

Objetivos específicos

- Diseñar y construir un electrodo de trabajo de grafito de lápiz para una celda electroquímica con arreglo de tres electrodos.
- Caracterizar electroquímica y morfológicamente el electrodo fabricado.
- Detectar Pb(II) y Cd(II) a nivel traza mediante técnicas voltamperométricas.
- Optimizar las condiciones experimentales para la cuantificación de Pb(II) y Cd(II).
- Construir una curva de calibración para Pb(II) y Cd(II) bajo las condiciones experimentales optimizadas.
- Determinar parámetros analíticos para el método.

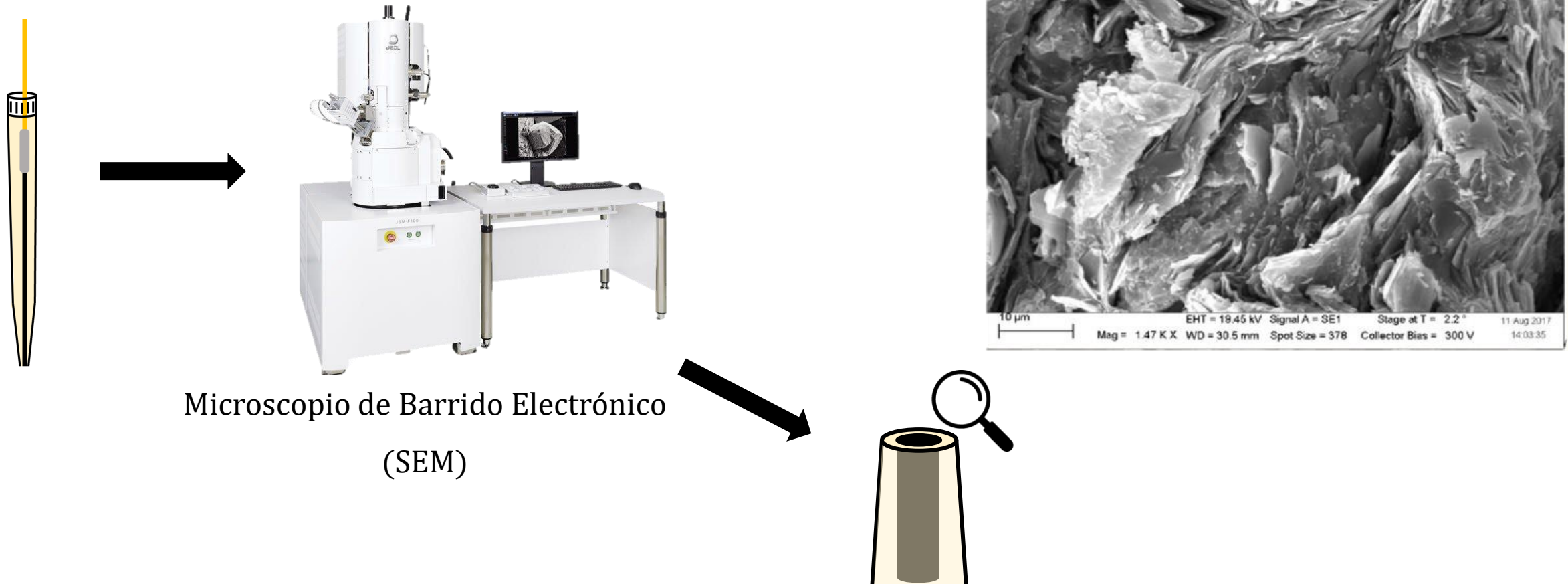
Materiales y Métodos

Fabricación del electrodo



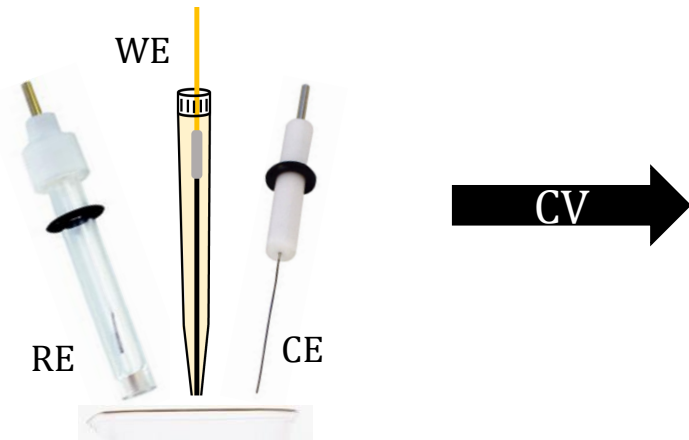
Materiales y Métodos

Caracterización morfológica



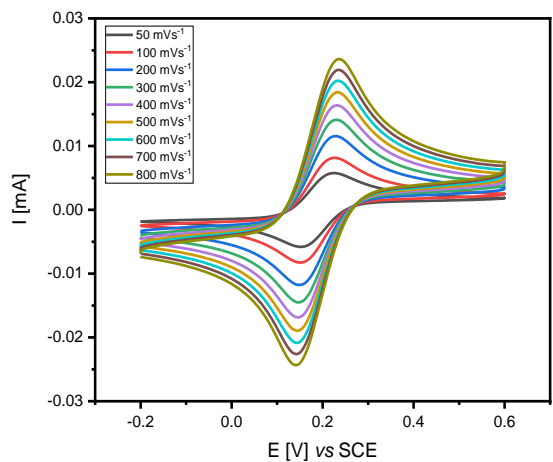
Materiales y Métodos

Caracterización electroquímica

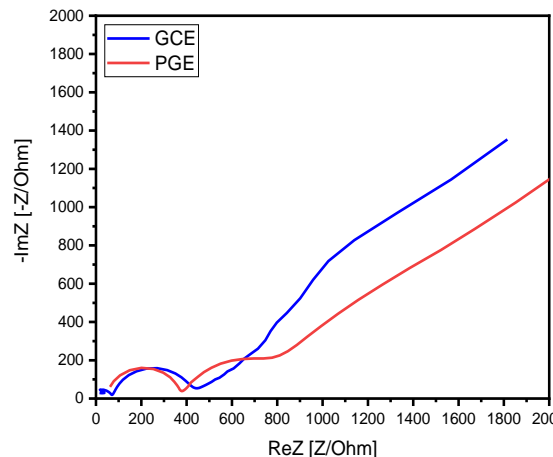


$[Fe(CN)_6]^{3/4}$ 5 mM
KCl 0.1 M

CV



EIS

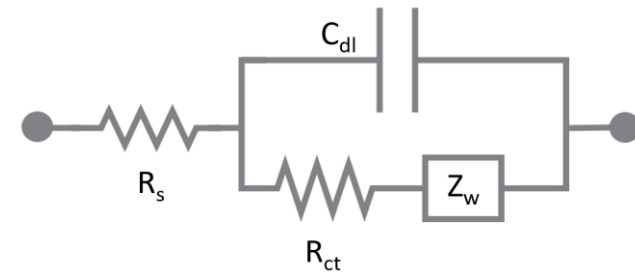


Determinar área electroactiva

Ecuación de Randles-Sevcik

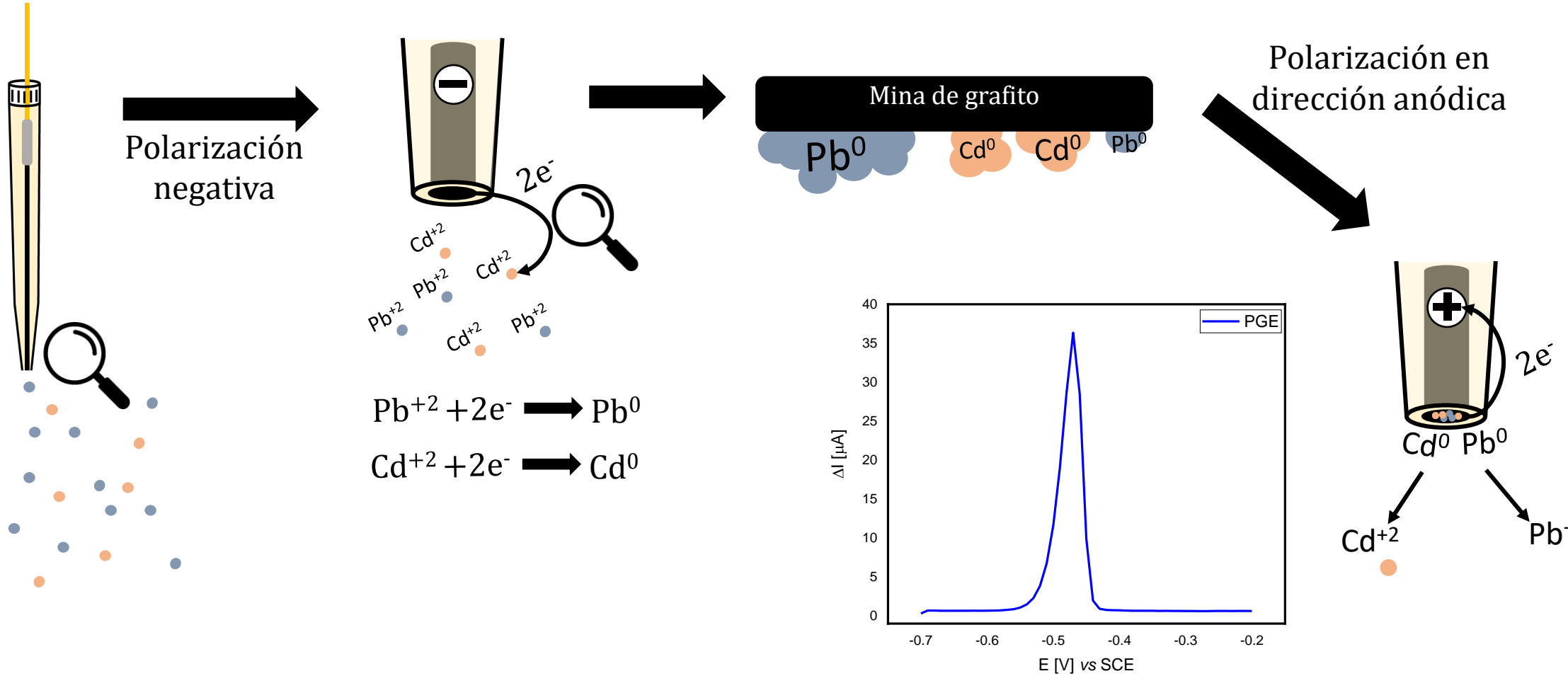
$$I_p = 2.69 \times 10^5 n^{\frac{3}{2}} A D^{\frac{1}{2}} C \nu^{\frac{1}{2}}$$

Determinar parámetros eléctricos



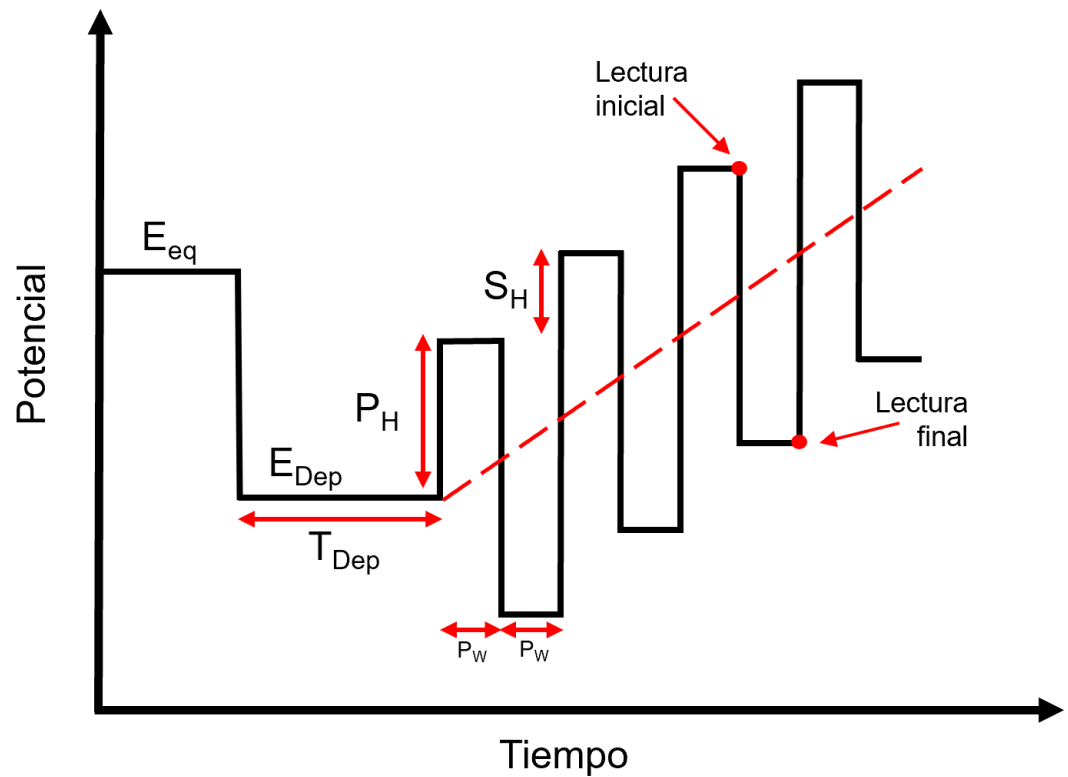
Materiales y Métodos

Detección electroquímica por ASSWV



Materiales y Métodos

Optimización del método

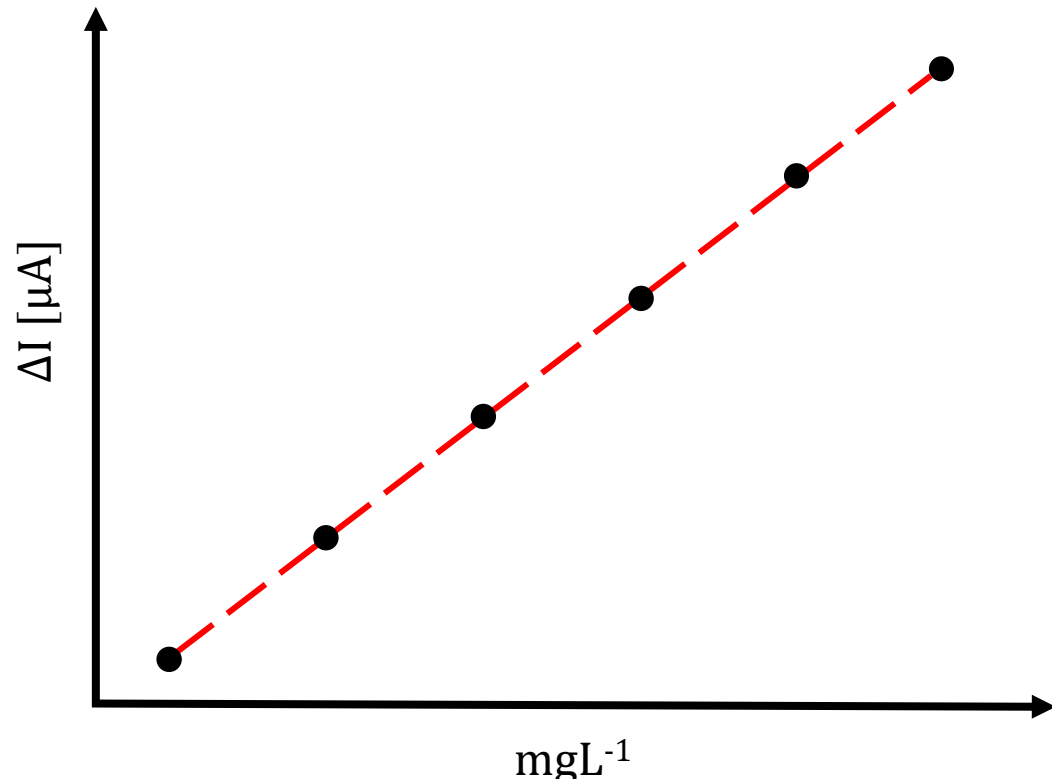


Condiciones experimentales a optimizar

- Electrolito soporte
- Potencial de preconcentración
- Tiempo de preconcentración
- Altura de pulso
- Altura de paso
- Ancho de pulso

Materiales y Métodos

Determinación de parámetros analíticos



Estándar externo

0.8 a 100 ppm

Pb(II) y Cd(II)

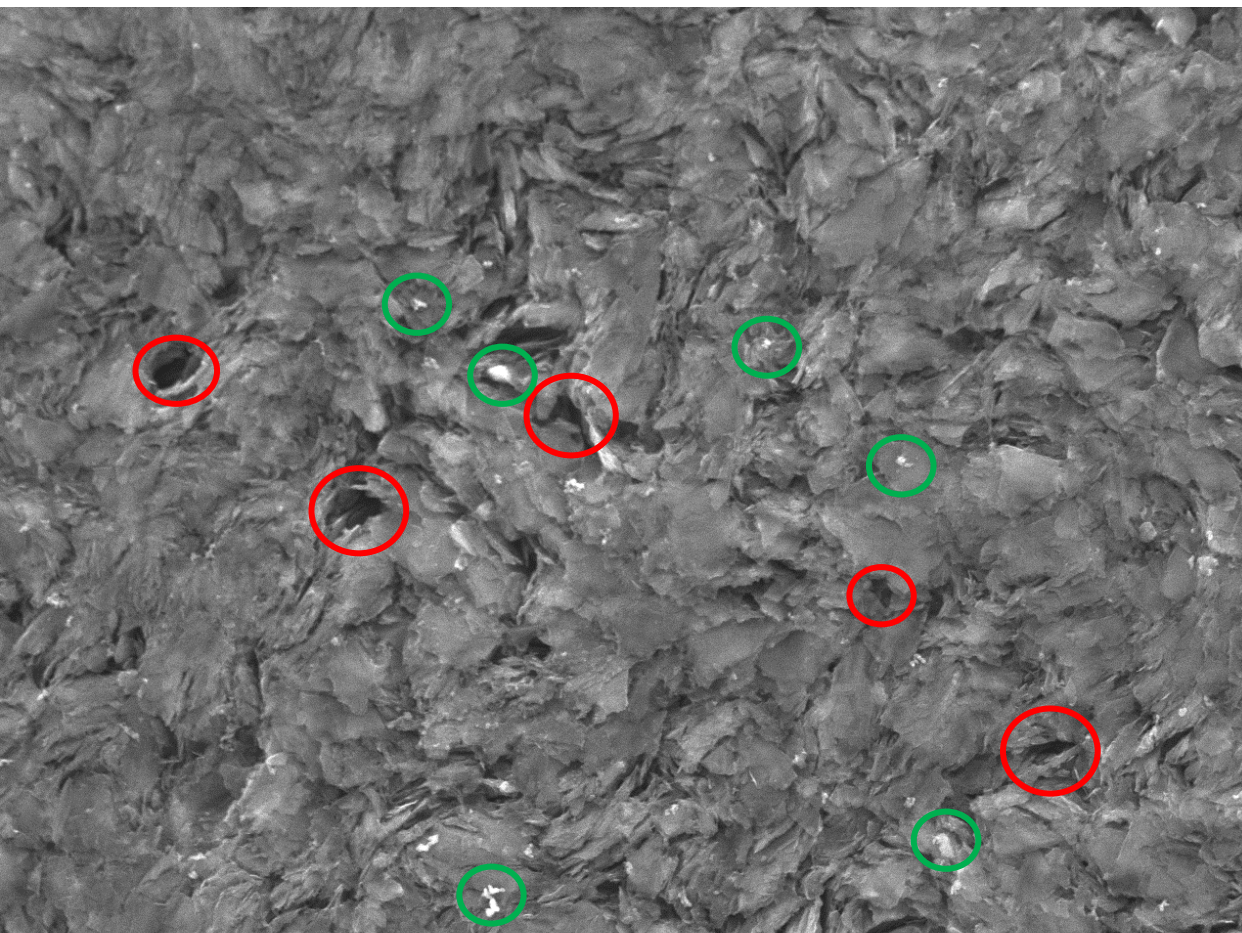
Parámetros a determinar

- LOD
- LOQ
- Rango Lineal

El análisis de datos se realizó por medio del software Excel en su versión
2210

Resultados

Caracterización Morfológica



UACJ

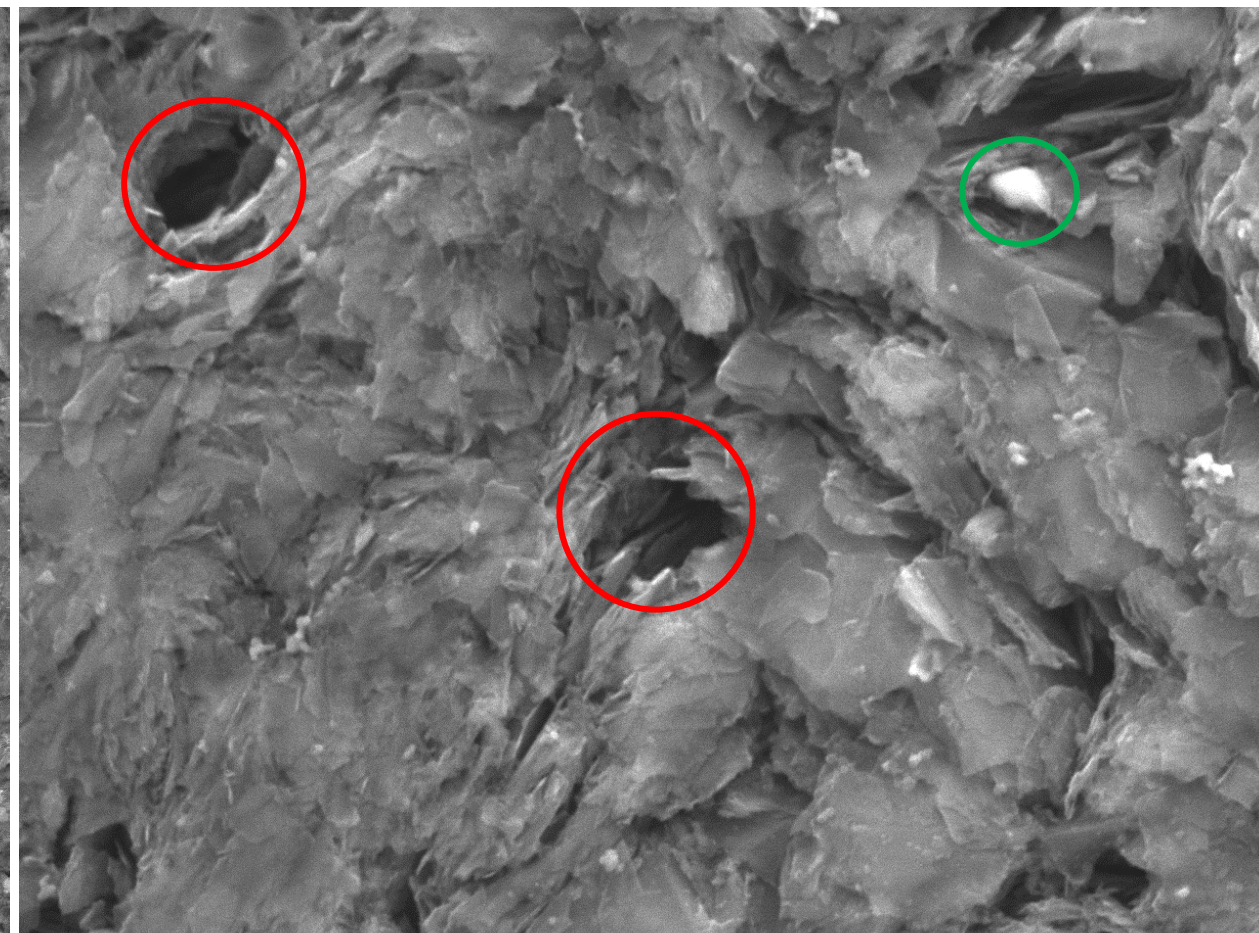
SEI

15.0kV

X2,000

10 μ m

WD 10.1mm



UACJ

SEI

15.0kV

X5,000

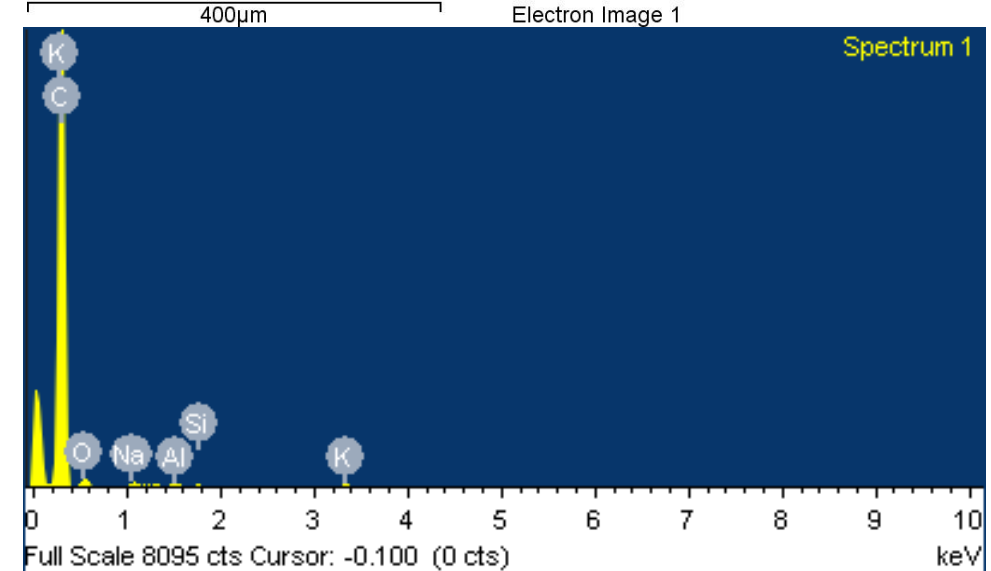
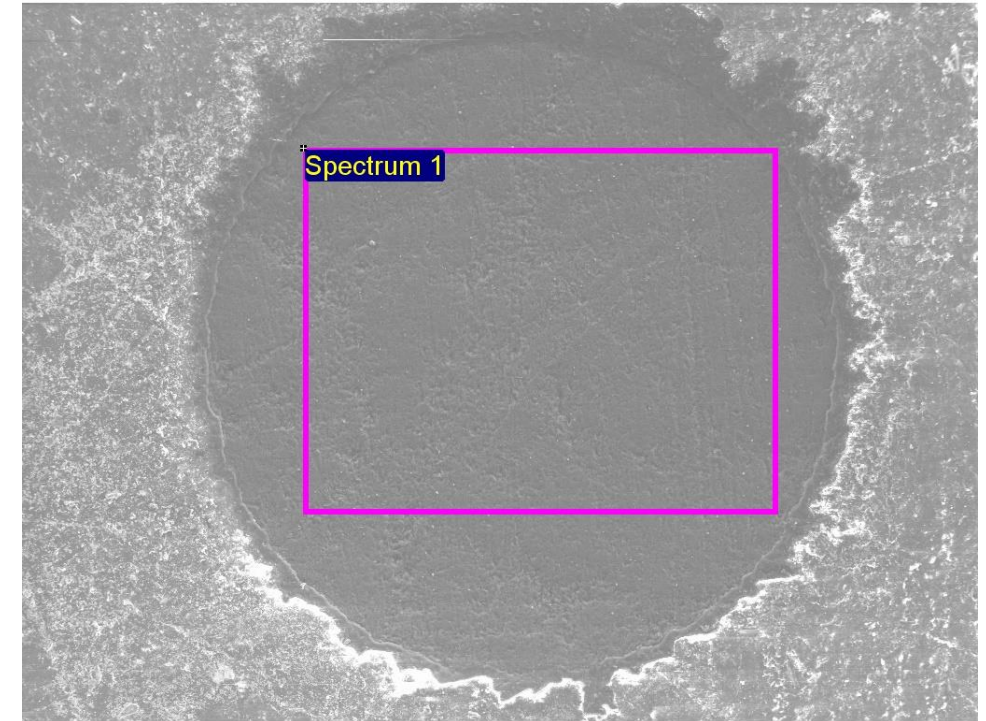
1 μ m

WD 10.1mm

Resultados

Caracterización Morfológica

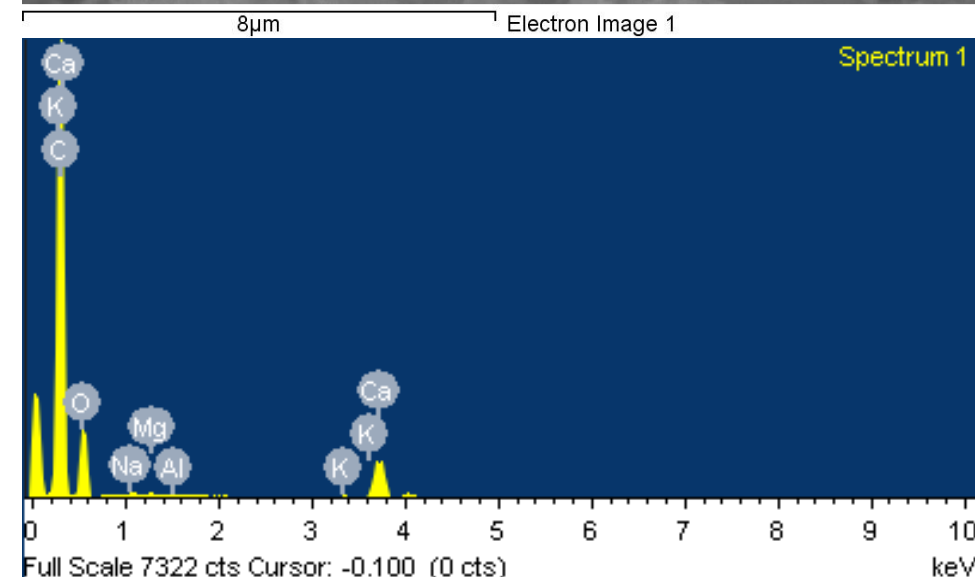
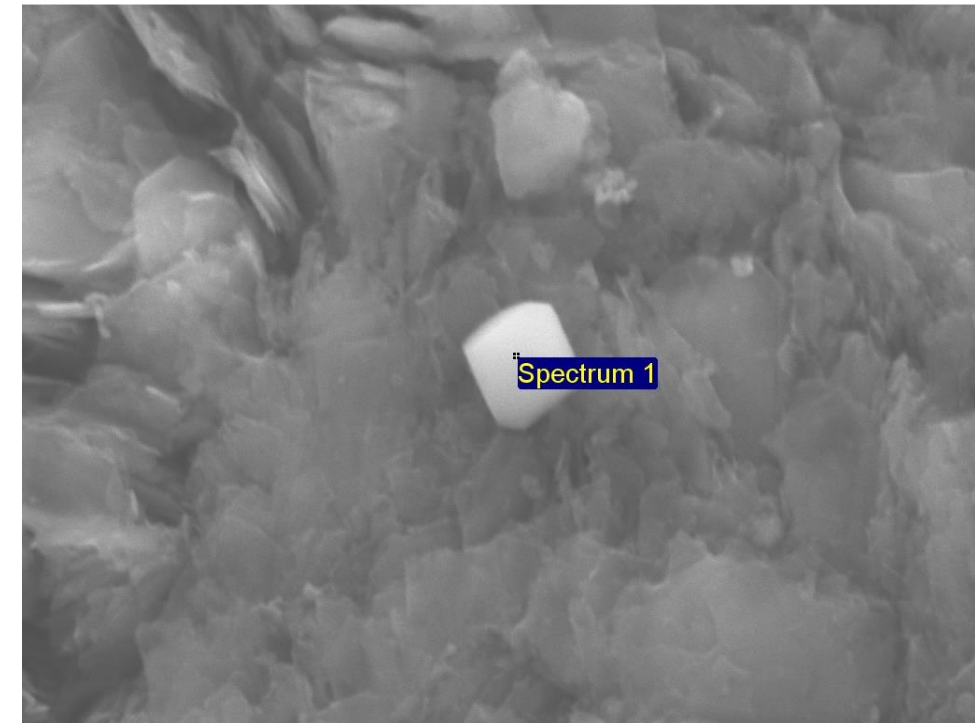
Elemento	% peso	% atómico
C	93.42	95.32
O	5.55	4.52
K	0.48	0.15
Na	0.36	0.19
Al	0.10	0.05
Si	0.08	0.03
Total	100	100



Resultados

Caracterización Morfológica

Elemento	% peso	% atómico
C	70.42	78.15
O	23.78	19.82
Ca	5.13	1.71
Na	0.25	0.15
K	0.18	0.06
Mg	0.17	0.09
Al	0.06	0.03
Total	100	100



Resultados

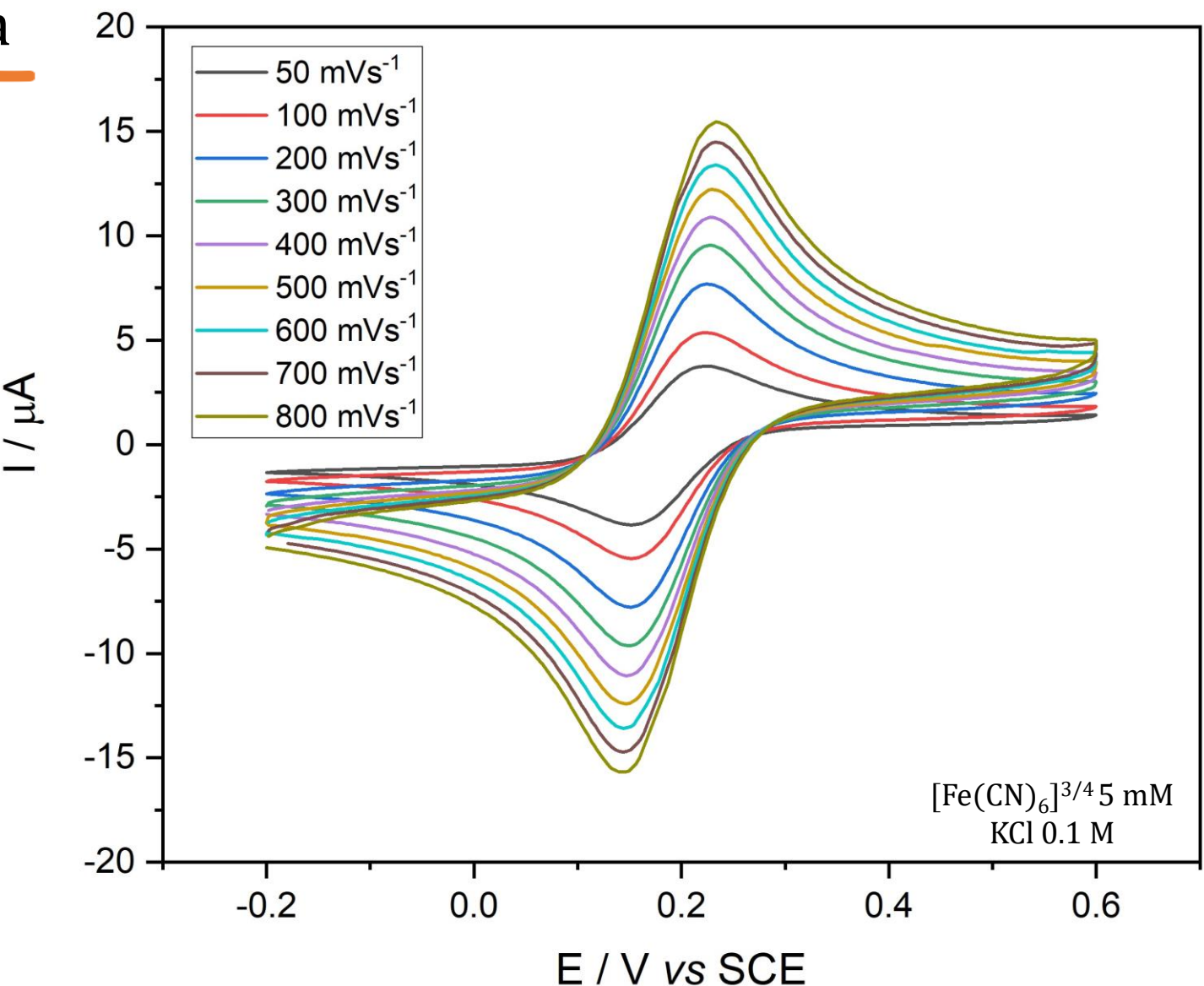
Caracterización Electroquímica

$$E_{pa} = 221.4 \text{ mV}$$

$$E_{pc} = 151.8 \text{ mV}$$

$$\Delta E_p = 69.6 \text{ mV}$$

$$I_{pa}/I_{pc} = 0.99$$



Resultados

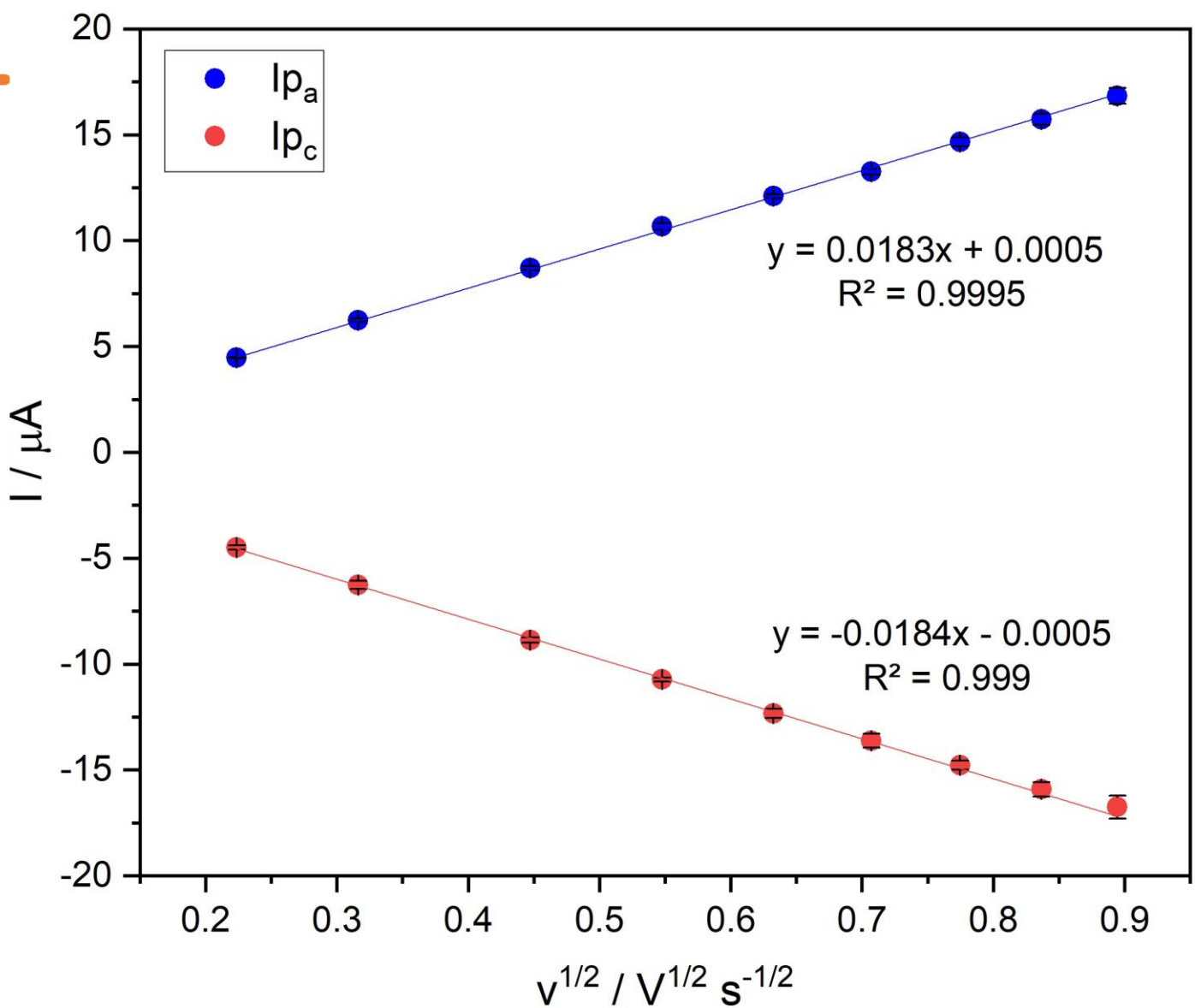
Caracterización Electroquímica

Área geométrica
 $1.96 \times 10^{-3} \text{ cm}^2$

$$i_p = 2.69 \times 10^5 n^{\frac{3}{2}} A D^{\frac{1}{2}} C v^{\frac{1}{2}}$$

Área electroactiva
 $5.06 \times 10^{-3} \pm 0.1 \times 10^{-3} \text{ cm}^2$

El área electroactiva del PGE es
2.58 veces mayor a la geométrica

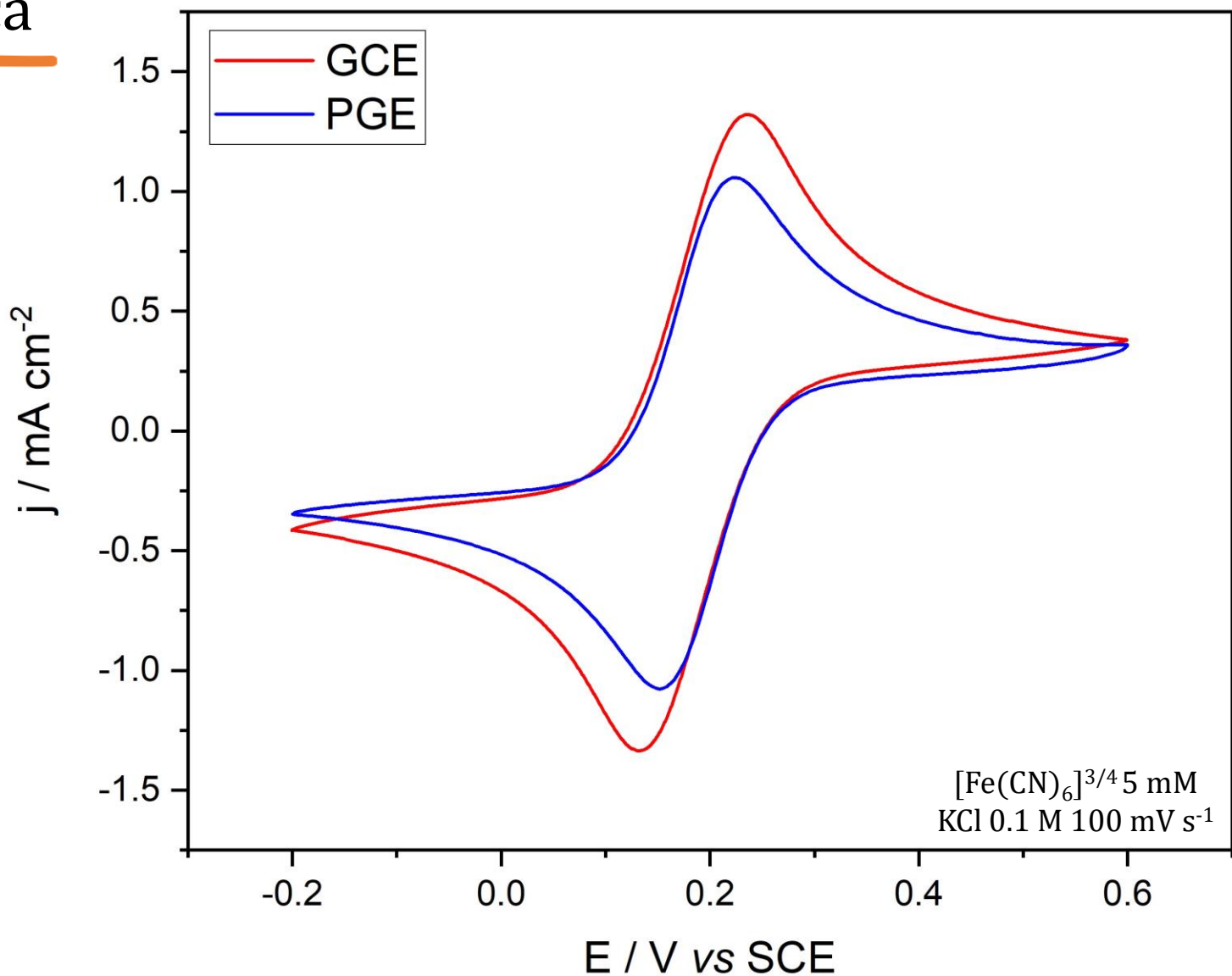


Resultados

Caracterización Electroquímica

Densidad de corriente PGE *vs* GCE

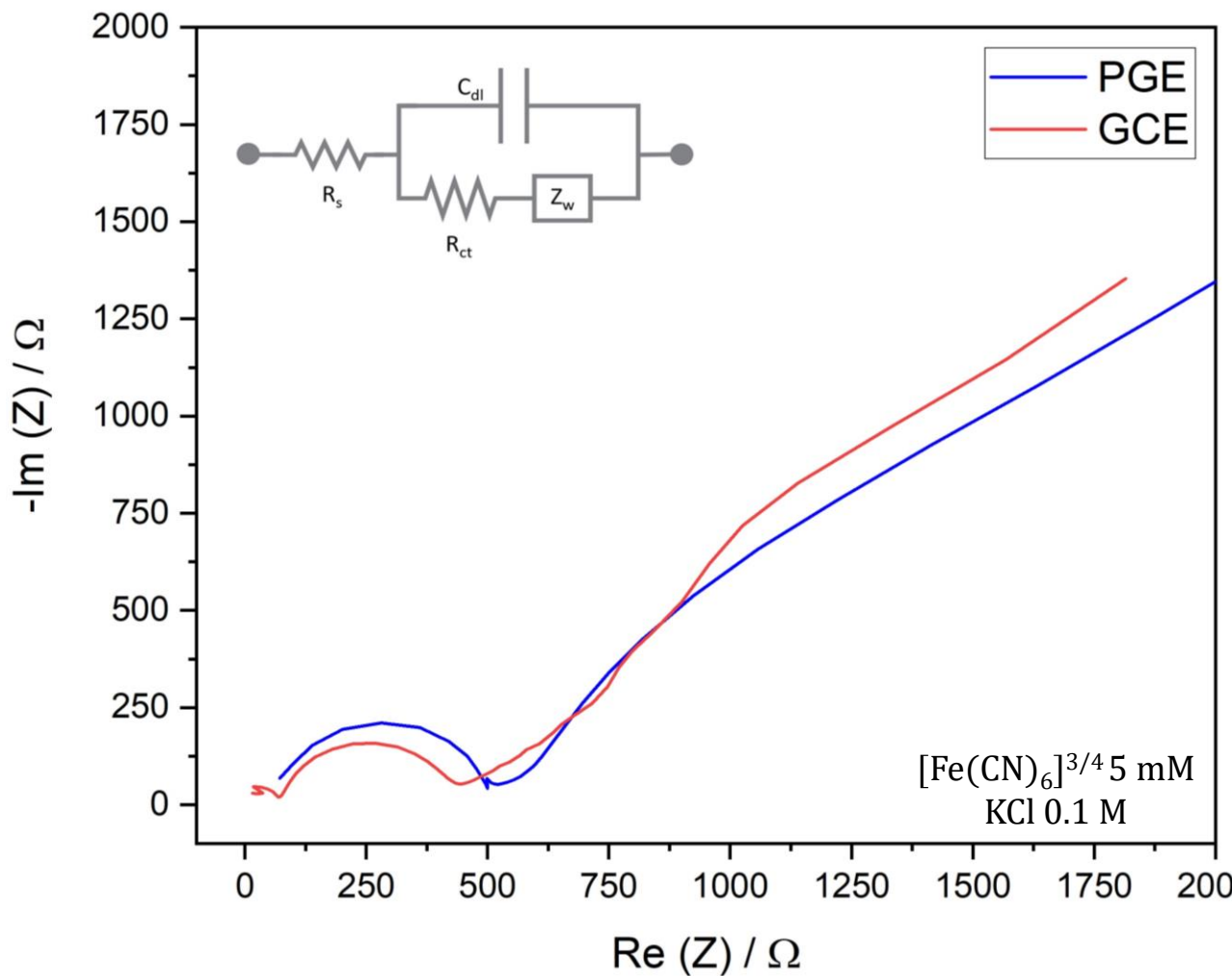
0.82



Resultados

Caracterización Electroquímica

Electrodo	R_s (Ω)	C_{dl} (μF)	R_{ct} (Ω)	Z_w ($k\Omega s^{-1/2}$)
GCE	80.01	0.2244	353.5	357.6
PGE	66.29	0.3205×10^{-3}	417.4	15738



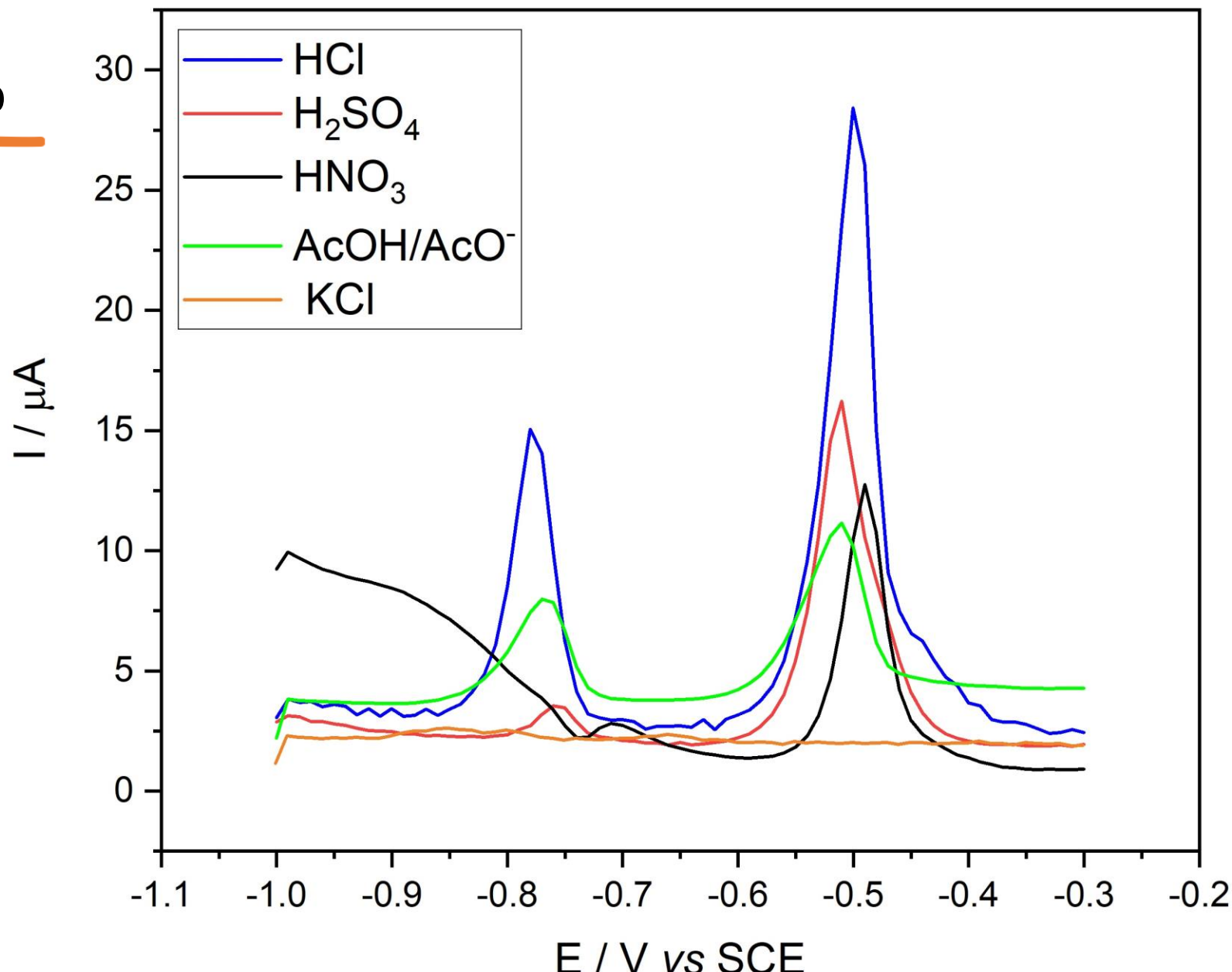
Resultados

Optimización del Método

Electrolito Soporte

Electrolito óptimo

HCl 0.1 M

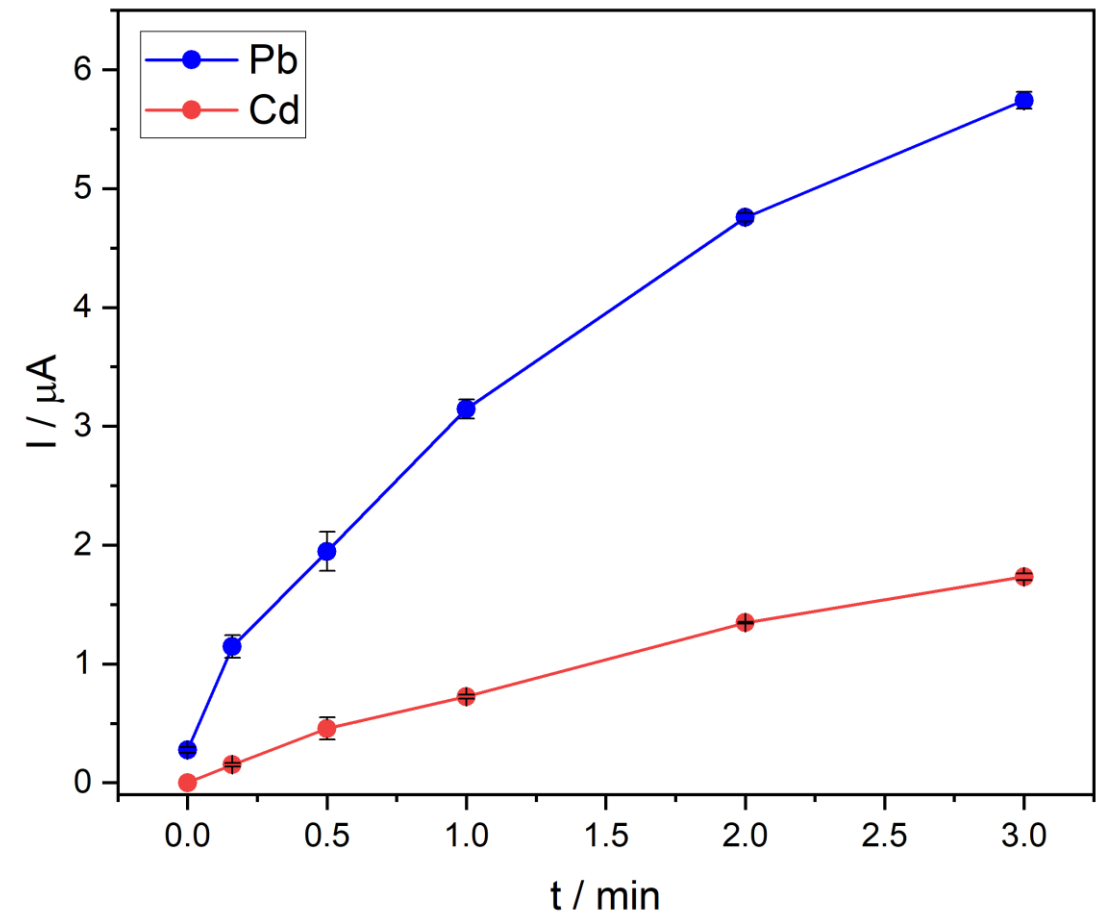
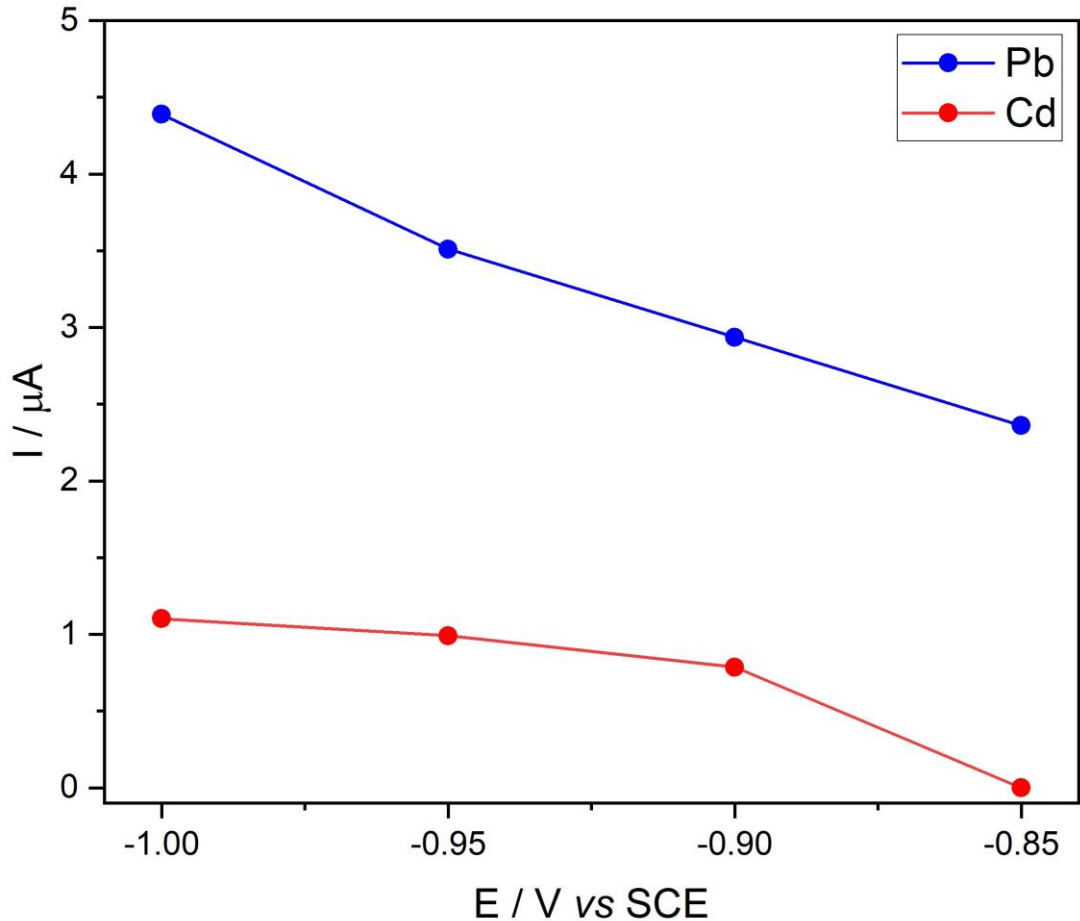


Cd(II) y Pb(II) 10 mg L^{-1} , $E_{\text{dep}} = -1 \text{ V}$, $t_{\text{dep}} = 60 \text{ s}$, $P_H = 25 \text{ mV}$, $P_W = 50 \text{ ms}$, $S_H = 10 \text{ mV}$

Resultados

Optimización del Método

Potencial y Tiempo de Preconcentración

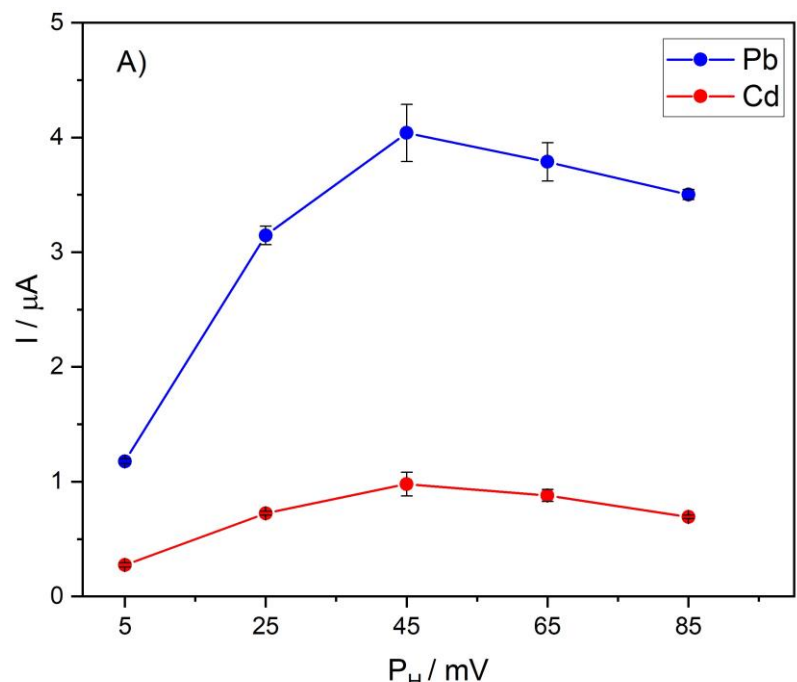


Cd(II) y Pb(II) 1 mg L⁻¹, HCl 0.1 M. $P_H = 25$ mV, $P_W = 50$ ms, $S_H = 10$ mV

Resultados

Optimización del Método

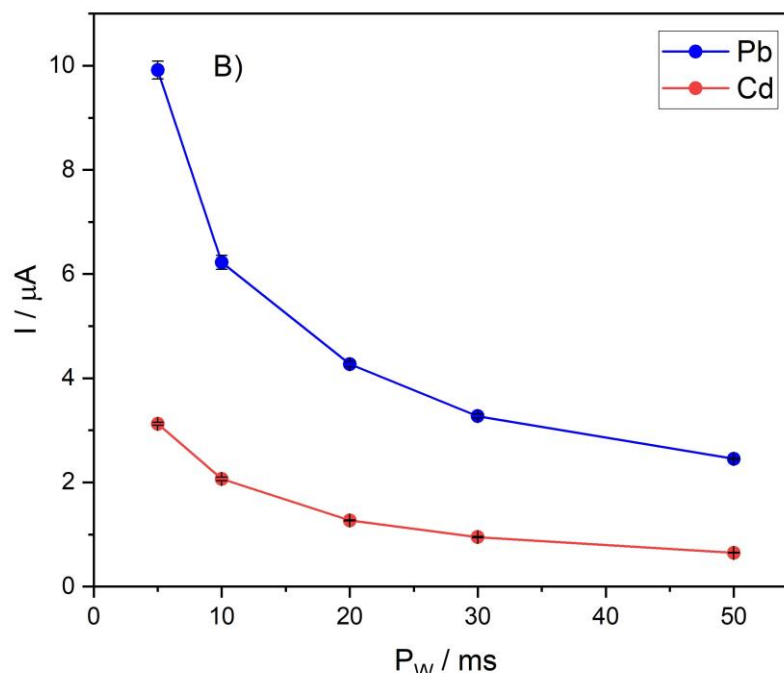
Altura de pulso



Cd(II) y Pb(II) 1 mg L⁻¹, HCl 0.1 M. $E_{\text{dep}} = -1$,
 $t_{\text{dep}} = 60 \text{ s}$, $P_W = 50 \text{ ms}$, $S_H = 10 \text{ mV}$

25 mV

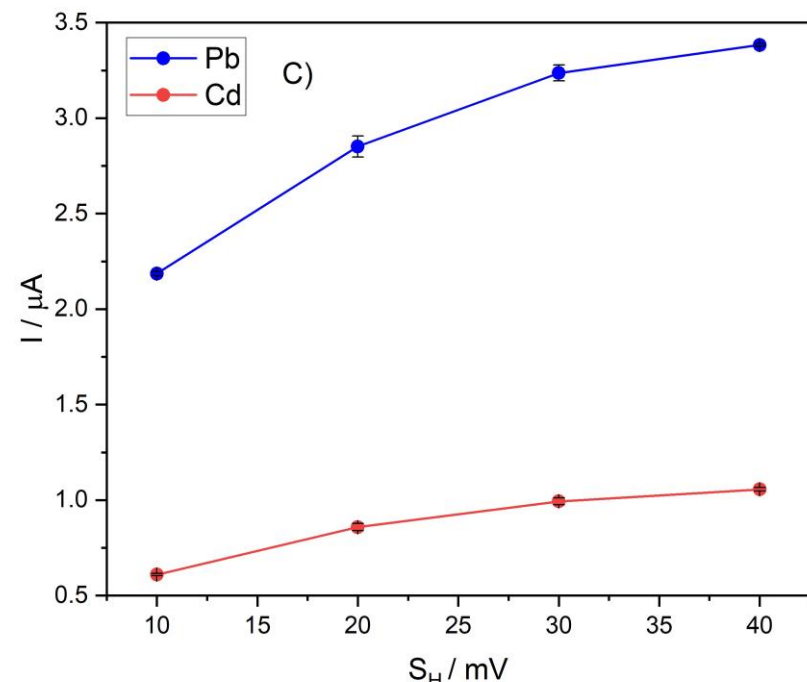
Ancho de pulso



Cd(II) y Pb(II) 1 mg L⁻¹, HCl 0.1 M. $E_{\text{dep}} = -1$,
 $t_{\text{dep}} = 60 \text{ s}$, $P_H = 25 \text{ mV}$, $S_H = 10 \text{ mV}$

50 ms

Altura de paso

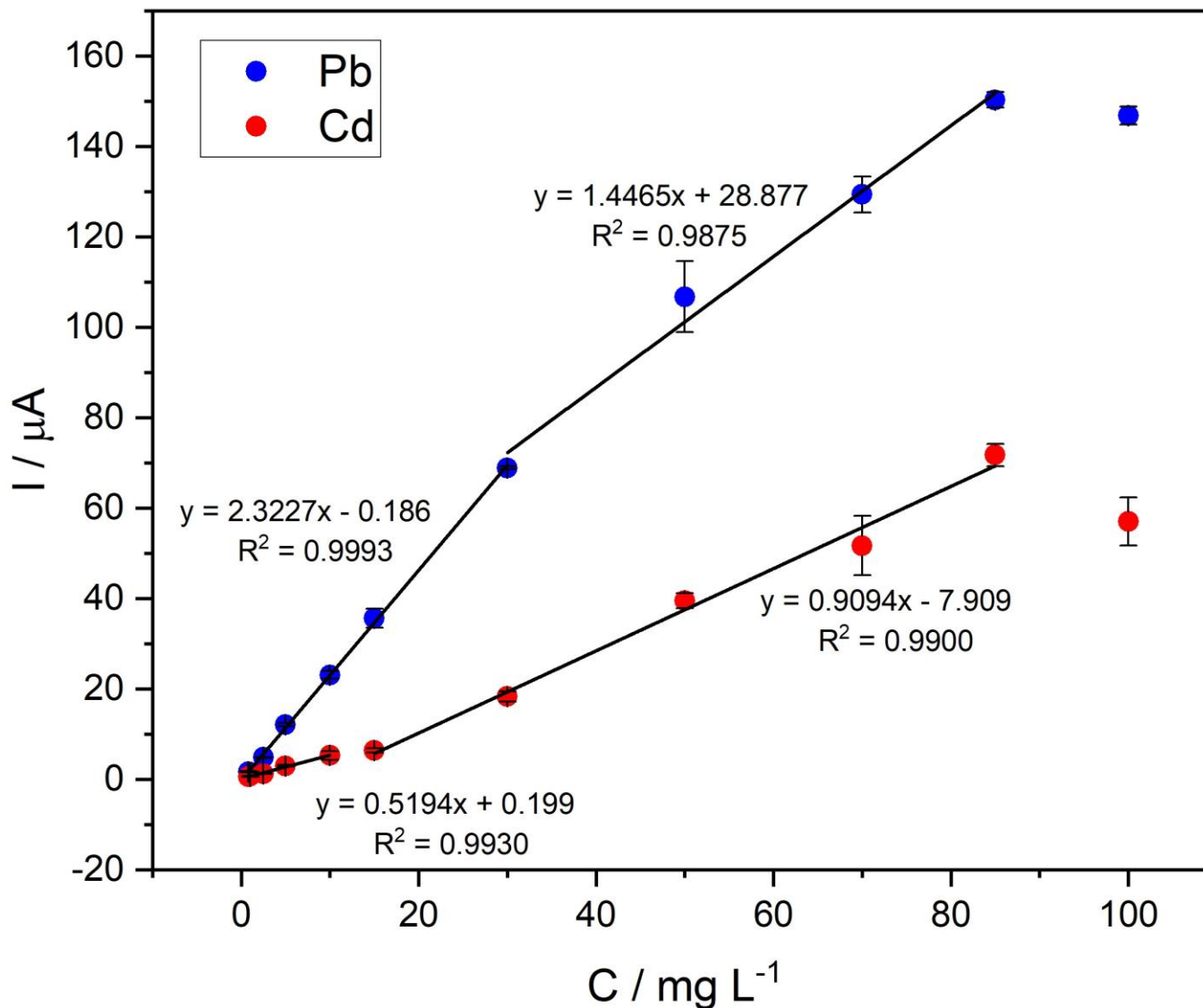


Cd(II) y Pb(II) 1 mg L⁻¹, HCl 0.1 M. $E_{\text{dep}} = -1$,
 $t_{\text{dep}} = 60 \text{ s}$, $P_H = 25 \text{ mV}$, $P_W = 50 \text{ ms}$

10 mV

Resultados

Curva de Calibración

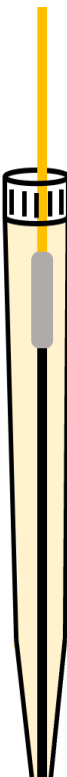


Resultados

Parámetros Analíticos

Analito	Intervalo lineal (mg L ⁻¹)	R ²	LOD (mg L ⁻¹)	LOQ (mg L ⁻¹)
Pb(II)	0.8 - 30	0.9993	0.946	3.154
	30 - 85	0.9875	9.880	32.934
Cd(II)	0.8 - 10	0.9930	1.107	3.692
	15 - 85	0.9900	9.921	33.071

Conclusiones



Un electrodo de grafito de lápiz puede detectar simultáneamente Pb(II) y Cd(II) a nivel traza en medio acuoso

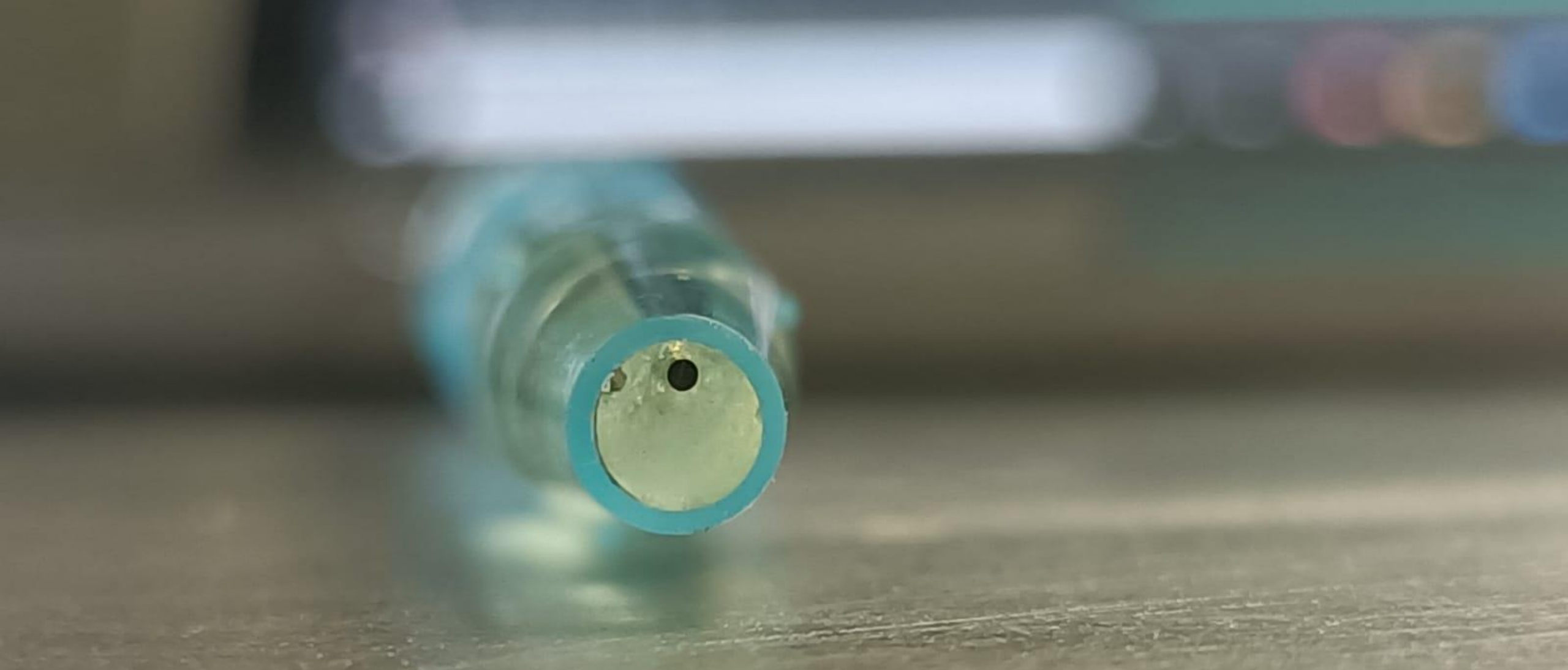
Los electrodos fabricados:

Tienen un **área electroactiva 2.58** mayor que su **área geométrica**

Producen **0.82** veces la densidad de corriente que un **electrodo de carbono vítreo**

Permiten la determinación simultánea de Pb(II) y Cd(II) a nivel traza

El método propuesto posee **límites de detección y cuantificación** que permiten su uso en **entornos industriales y académicos**



Por su atención, muchas gracias.

Literatura Citada

- Al osman, M., Yang, F., & Massey, I. Y. (2019). Exposure routes and health effects of heavy metals on children. *BioMetals* 2019 32:4, 32(4), 563–573. <https://doi.org/10.1007/S10534-019-00193-5>
- Annu, Sharma, S., Jain, R., & Raja, A. N. (2020). Review—Pencil graphite electrode: an emerging sensing material. *Journal of The Electrochemical Society*, 167(3), 037501. <https://doi.org/10.1149/2.0012003jes>
- Bard, A. J., & Faulkner, L. R. (2000). *Electrochemical methods : fundamentals and applications* (John Wiley & Sons, Ed.; 2nd ed.). John Wiley & Sons.
- ECOL. (1997). Norma Oficial Mexicana NOM-002-ECOL-1996, Que establece los límites máximos permisibles de contaminantes en las descargas de aguas residuales a los sistemas de alcantarillado. In *Diario Oficial de la Federación* (NOM-002-ECOL-1996; Norma Oficial Mexicana). Diario Oficial de la Federación. <https://www.profepa.gob.mx/innovaportal/file/3295/1/nom-002-semarnat-1996.pdf>
- ECOL. (1998). Norma Oficial Mexicana NOM-003-ECOL-1997, Que establece los límites máximos permisibles de contaminantes para las aguas residuales tratadas que se reusen en servicios al público. In *Diario Oficial de la Federación* (NOM-003-ECOL-1997; Norma Oficial Mexicana). Diario Oficial de la Federación.
- Forsyth, J. E., Nurunnahar, S., Islam, S. S., Baker, M., Yeasmin, D., Islam, M. S., Rahman, M., Fendorf, S., Ardooin, N. M., Winch, P. J., & Luby, S. P. (2019). Turmeric means “yellow” in Bengali: Lead chromate pigments added to turmeric threaten public health across Bangladesh. *Environmental Research*, 179, 108722. <https://doi.org/10.1016/J.ENVRES.2019.108722>
- Ghazi, A. M., & Millette, J. R. (1964). Lead. In *Environmental Forensics: Contaminant Specific Guide* (pp. 55–79). Academic Press. <https://doi.org/10.1016/B978-012507751-4/50026-4>
- Gottesfeld, P. (2015). Time to ban lead in industrial paints and coatings. *Frontiers in Public Health*, 3. <https://doi.org/10.3389/FPUBH.2015.00144>

Literatura Citada

Karthik, R., Govindasamy, M., Chen, S. M., Chen, T. W., Vinoth Kumar, J., Elangovan, A., Muthuraj, V., & Yu, M. C. (2017). A facile graphene oxide based sensor for electrochemical detection of prostate anti-cancer (anti-testosterone) drug flutamide in biological samples. *RSC Advances*, 7(41), 25702–25709. <https://doi.org/10.1039/C6RA28792A>

Lanphear, B. P., Hornung, R., Khoury, J., Yolton, K., Baghurst, P., Bellinger, D. C., Canfield, R. L., Dietrich, K. N., Bornschein, R., Greene, T., Rothenberg, S. J., Needleman, H. L., Schnaas, L., Wasserman, G., Graziano, J., & Roberts, R. (2005). Low-level environmental lead exposure and children's intellectual function: An international pooled analysis. *Environmental Health Perspectives*, 113(7), 894–899. <https://doi.org/10.1289/EHP.7688>

Li, X., Yue, W., Li, Y., & Zhang, G. (2005). Source identification of lead-containing particles in the ambient air of the center of Shanghai by analyzing individual aerosol particles. *Journal of Radioanalytical and Nuclear Chemistry*, 266(1), 141–144. <https://doi.org/10.1007/S10967-005-0882-7>

Li, Y., Zhang, H., Shao, L., Zhou, X., & He, P. (2019). Impact of municipal solid waste incineration on heavy metals in the surrounding soils by multivariate analysis and lead isotope analysis. *Journal of Environmental Sciences*, 82, 47–56. <https://doi.org/10.1016/J.JES.2019.02.020>

May, G. J., Davidson, A., & Monahov, B. (2018). Lead batteries for utility energy storage: A review. *Journal of Energy Storage*, 15, 145–157. <https://doi.org/10.1016/j.est.2017.11.008>

Mielke, H. W. (2018). Dynamic geochemistry of tetraethyl lead dust during the 20th century: getting the lead in, out, and translational beyond. *International Journal of Environmental Research and Public Health* 2018, Vol. 15, Page 860, 15(5), 860. <https://doi.org/10.3390/IJERPH15050860>

Mohammadyan, M., Moosazadeh, M., Borji, A., Khanjani, N., & Rahimi Moghadam, S. (2019). Exposure to lead and its effect on sleep quality and digestive problems in soldering workers. *Environmental Monitoring and Assessment* 2019 191:3, 191(3), 1–9. <https://doi.org/10.1007/S10661-019-7298-2>

Literatura Citada

- Pacer, E. J., Palmer, C. D., & Parsons, P. J. (2022). Determination of lead in blood by graphite furnace atomic absorption spectrometry with Zeeman background correction: Improving a well-established method to support a lower blood lead reference value for children. *Spectrochimica Acta Part B: Atomic Spectroscopy*, 190, 106324. <https://doi.org/10.1016/J.SAB.2021.106324>
- Palisoc, S., Espique, E. M., Ribay, A. M., Sy, S., Tan, K. A., de Jesus, N., Noel, M., & Natividad, M. (2018). Silver/bismuth/Nafion modified pencil graphite electrode for trace heavy metal determination. *International Journal of Electrochemical Science*, 13(11), 10355–10367. <https://doi.org/10.20964/2018.11.63>
- Palisoc, S., Gonzales, A. J., Pardilla, A., Racines, L., & Natividad, M. (2019). Electrochemical detection of lead and cadmium in UHT-processed milk using bismuth nanoparticles/Nafion®-modified pencil graphite electrode. *Sensing and Bio-Sensing Research*, 23. <https://doi.org/10.1016/j.sbsr.2019.100268>
- Rezaei, H., Zarei, A., Kamarehie, B., Jafari, A., Fakhri, Y., Bidarpoor, F., Karami, M. A., Farhang, M., Ghaderpoori, M., Sadeghi, H., & Shalyari, N. (2019). Levels, distributions and health risk assessment of lead, cadmium and arsenic found in drinking groundwater of Dehgolan's villages, Iran. *Toxicology and Environmental Health Sciences* 2019 11:1, 11(1), 54–62. <https://doi.org/10.1007/S13530-019-0388-2>
- Rowe, A. A., Bonham, A. J., White, R. J., Zimmer, M. P., Yadgar, R. J., Hobza, T. M., Honea, J. W., Ben-Yaacov, I., & Plaxco, K. W. (2011). Cheapstat: An open-source, “do-it-yourself” potentiostat for analytical and educational applications. *PLoS ONE*, 6(9). <https://doi.org/10.1371/journal.pone.0023783>
- SCFI. (2001). NMX-AA-051-SCFI-2001. Análisis de agua - determinación de metales por absorción atómica en aguas naturales, potables, residuales y residuadas tratadas - método de prueba. In Diario Oficial de la Federación (NMX-AA-051-SCFI-2001; Norma Mexicana). <https://www.gob.mx/cms/uploads/attachment/file/166785/NMX-AA-051-SCFI-2001.pdf>.
- SEMARNAT. (2021). Norma Oficial Mexicana NOM-001-SEMARNAT-2021, Que establece los límites permisibles de contaminantes en las descargas de aguas residuales en cuerpos receptores propiedad de la nación. (No. 001; Normas Oficiales Mexicanas).

Literatura Citada

- Smith, K. S. (1998). Cadmium. In Geochemistry (pp. 50–51). Springer Netherlands. https://doi.org/10.1007/1-4020-4496-8_37
- Snyder, L. J. (2002). Improved dithizone method for determination of lead. *Analytical Chemistry*, 19(9), 684–687. <https://doi.org/10.1021/AC60009A022>
- SSA1. (2017). Proyecto de Norma Oficial Mexicana PROY-NOM-127-SSA1-2017, Agua para uso y consumo humano. Límites permisibles de la calidad del agua. (No. 127; Proyectos de Normas Oficiales Mexicanas).
- Stelling, E. (2002). The gravimetric determination of lead in the presence of tin and antimony. *Industrial & Engineering Chemistry*, 16(7), 748–748. <https://doi.org/10.1021/IE50175A035>
- Tan, C. H., Moo, Y. C., Jafri, M. Z. M., & Lim, H. S. (2014). UV spectroscopy determination of aqueous lead and copper ions in water. <Https://Doi.Org/10.1117/12.2052349>, 9141, 125–130. <https://doi.org/10.1117/12.2052349>
- Vadivaambigai, A., Senthilvasan, P. A., Kothurkar, N., & Rangarajan, M. (2015). Graphene-oxide-based electrochemical sensor for salicylic acid. *Nanoscience and Nanotechnology Letters*, 7(2), 140–146. <https://doi.org/10.1166/NNL.2015.1909>
- Xu, J. G., Sun, C., Zhang, M. J., Liu, B. W., Li, X. Z., Lu, J., Wang, S. H., Zheng, F. K., & Guo, G. C. (2017). Coordination polymerization of metal azides and powerful nitrogen-rich ligand toward primary explosives with excellent energetic performances. *Chemistry of Materials*, 29(22), 9725–9733. https://doi.org/10.1021/ACS.CHEMMATER.7B03453/SUPPL_FILE/CM7B03453_SI_005.PDF